

lncRNA LUCAT1 对膀胱癌细胞增殖、凋亡的影响及其机制研究

王辉¹, 田伟², 杨建兵¹, 李占琦¹, 高卫军¹

陕西省核工业二一五医院泌尿外科¹、病理科², 陕西 咸阳 712000

【摘要】目的 探讨 lncRNA LUCAT1 对膀胱癌细胞的增殖和凋亡的影响以及潜在的作用机制。**方法** 培养正常膀胱上皮细胞 SV-HUC-1 和膀胱癌细胞 J82、5637、BIU-87, 将膀胱癌细胞 5637 随机分为 control 组、si-NC 组, si-LUCAT1 组、pcDNA-NC 组、pcDNA-LUCAT1 组、si-LUCAT1+anti-miR-NC 组、si-LUCAT1+anti-miR-493-5p 组。qRT-PCR 法检测 miR-493-5p 和 LUCAT1 表达水平; Western Blot 检测蛋白表达; MTT 法检测细胞活性; 流式细胞术检测细胞凋亡; 双荧光素酶报告实验验证 LUCAT1 和 miR-493-5p 的靶向关系。**结果** 与膀胱上皮细胞 SV-HUC-1 相比, 膀胱癌细胞 J82、5637、BIU-87 中 LUCAT1 的表达水平明显升高, miR-493-5p 表达水平明显降低, 差异均有统计学意义($P<0.05$); 与 si-NC 组相比, si-LUCAT1 组细胞活性降低, 凋亡率升高, CyclinD1 表达水平降低, Caspase-3 表达水平升高, p-JAK2 和 p-STAT 蛋白的表达水平降低, 差异均有统计学意义($P<0.05$); miR-493-5p mimics 与 LUCAT1 野生型报告质粒共转染的细胞荧光素酶活性降低, 差异有统计学意义($P<0.05$); 而 miR-493-5p mimics 与 LUCAT1 突变型报告质粒共转染的细胞荧光素酶活性无显著变化, 差异无统计学意义($P>0.05$); 与 si-LUCAT1+anti-miR-NC 组相比, si-LUCAT1+anti-miR-493-5p 组细胞活性升高, 细胞凋亡率降低, Cyclin D1 表达水平升高, Caspase-3 表达水平降低, p-JAK2 和 p-STAT 蛋白表达水平升高, 差异均有统计学意义($P<0.05$)。**结论** lncRNALUCAT1 可抑制膀胱癌细胞增殖, 促进其凋亡, 其机制可能与 miR-493-5p 及 JAK/STAT 信号通路有关。

【关键词】 lncRNALUCAT1; miR-493-5p; JAK/STAT 信号通路; 膀胱癌; 增殖; 凋亡; 作用机制

【中图分类号】 R737.14 **【文献标识码】** A **【文章编号】** 1003-6350(2020)22-2857-05

Effect of lncRNA LUCAT1 on the proliferation and apoptosis of bladder cancer cells and its mechanism. WANG Hui¹, TIAN Wei², YANG Jian-bin¹, LI Zhan-qi¹, GAO Wei-jun¹. Department of Urology Surgery¹, Department of Pathology², No 215 Hospital of Shaanxi Nuclear Industry, Xianyang 712000, Shaanxi, CHINA

[Abstract] **Objective** To investigate the effect of lncRNA LUCAT1 on the proliferation and apoptosis of bladder cancer cells and its potential mechanism. **Methods** Culture normal bladder epithelial cells SV-HUC-1 and bladder cancer cells J82, 5637, BIU-87, and bladder cancer cells 5637 were randomly divided into the control group, si-NC group, si-LUCAT1 group, pcDNA-NC group, pcDNA-LUCAT1 group, si-LUCAT1+anti-miR-NC group, si-LUCAT1+anti-miR-493-5p group. qRT-PCR method was used to detect the expression of miR-493-5p and LUCAT1; Western blot was used to detect protein expression; MTT (3-(4,5-Dimethylthiazol-2-yl)-2,5-Diphenyltetrazolium Bromide) method was used to detect cell viability; flow cytometry was used to detect apoptosis; dual luciferase report experiment was used to verify the targeting relationship between LUCAT1 and miR-493-5p. **Results** Compared with bladder epithelial cells SV-HUC-1, the expression level of LUCAT1 in bladder cancer cells J82, 5637, and BIU-87 was significantly increased, and the expression level of miR-493-5p was significantly reduced, with statistically significant differences (all $P<0.05$). Compared with the si-NC group, the cell activity of the si-LUCAT1 group was decreased, the apoptosis rate was increased, the expression level of CyclinD1 was decreased, the expression level of Caspase-3 was increased, and the expression levels of p-JAK2 and p-STAT protein were decreased, with statistically significant differences (all $P<0.05$); the luciferase activity of cells co-transfected with miR-493-5p mimics and LUCAT1 wild-type reporter plasmid was decreased, and the difference was statistically significant ($P<0.05$); the luciferase activity of cells co-transfected with miR-493-5p mimics and LUCAT1 mutant reporter plasmid did not change significantly, and the difference was not statistically significant ($P>0.05$); compared with the si-LUCAT1+anti-miR-NC group, in the si-LUCAT1+anti-miR-493-5p group, cell viability was increased, cell apoptosis rate was decreased, cyclin D1 expression level was increased, caspase-3 expression level was decreased, and p-JAK2 and p-STAT protein expression levels were increased, with statistically significant differences (all $P<0.05$). **Conclusion** lncRNA LUCAT1 can inhibit the proliferation and promote the apoptosis of bladder cancer cells, and its mechanism may be related to miR-493-5p and JAK/STAT signaling pathway.

[Key words] lncRNA LUCAT1; miR-493-5p; JAK/STAT signaling pathway; Bladder cancer; Proliferation; Apoptosis; Mechanism

膀胱癌是泌尿系统常见的恶性肿瘤之一, 传统的手术、化疗治疗手段虽有一定疗效, 但仍存在不良反应大、部分患者无法耐受、肿瘤复发率和进展率较高等缺点^[1]。近年来, 靶向治疗成为新的治疗方法, 相较于传

统化疗, 其不仅提高了疗效, 还具有明显优势^[2]。研究发现长链非编码 RNA (lncRNA) 可通过影响肿瘤细胞的生长、浸润和转移促进肿瘤的发生发展, 异常表达的 lncRNA 与膀胱癌的发生发展也密切相关^[3]。作为非

编码 RNA 大家族的 miRNA, 其同样也与膀胱癌的进展密切相关, 可作为诊断和治疗膀胱癌的新靶点^[4]。研究发现 LUCAT1 在非小细胞肺癌中上调表达, 敲低 LUCAT1 可抑制细胞增殖^[5]; LUCAT1 通过 miR-200c/AB-CB1 调节骨肉瘤中的甲氨蝶呤抗性^[6]; 上调 lncRNA LUCAT1 能通过调控 miR-181a 的表达促进宫颈癌的增殖、迁移和侵袭^[7]。miR-493-5p 在前列腺癌中表达下调, 过表达 miR-493-5p 可抑制前列腺癌细胞的增殖、上皮间充质转化(EMT)和迁移侵袭^[8]; miR-493-5p 通过靶向 VAMP2 抑制肝癌细胞的增殖和侵袭, 并促进细胞凋亡^[9]。而 LUCAT1 和 miR-493-5p 对膀胱癌的发生发展的影响及其在膀胱癌中的作用机制尚不清楚。本实验旨在研究 LUCAT1 和 miR-493-5p 对膀胱癌增殖和凋亡的影响及 LUCAT1 是否通过靶向调节 miR-493-5p 影响其下游的基因进而影响膀胱癌的进展。

1 材料与方法

1.1 材料 膀胱癌细胞 J82、5637、BIU-87 和人正常膀胱上皮细胞 SV-HUC-1 均购自上海冠导生物工程有限公司; 胎牛血清、RPMI-1640 培养基购自上海恒渡生物科技有限公司; Trizol 试剂、荧光定量 PCR 试剂盒购自上海优宁维生物科技股份有限公司; BCA 试剂盒购自上海榕柏生物技术有限公司; 双荧光素酶报告基因检测试剂盒购自上海群己生物科技有限公司; MTT 试剂盒购自上海坼明生物科技有限公司; Annexin V-FITC/PI 试剂盒购自上海信帆生物科技有限公司。

1.2 方法

1.2.1 细胞培养 膀胱癌细胞 J82、5637、BIU-87 和人正常膀胱上皮细胞 SV-HUC-1 在 RPMI-1640 培养基(含 10% 胎牛血清)中培养, 每天换液一次, 取对数生长期细胞进行实验。

1.2.2 细胞转染与分组 取对数生长期膀胱癌细胞 5637, 无血清培养 12 h 后转染; 将 si-NC、si-LUCAT1、pcDNA-NC 和 pcDNA-LUCAT1 分别转染至膀胱癌细胞 5637 中, 记为 si-NC 组、si-LUCAT1 组、pcDNA-NC 组和 pcDNA-LUCAT1 组; 未进行任何处理的正常膀胱癌细胞 5637 做为空白对照组(Control); 将 si-LUCAT1 分别与 anti-miR-NC 和 anti-miR-493-5p 共同转染至膀胱癌细胞 5637 中, 记为 si-LUCAT1+anti-miR-NC 组和 si-LUCAT1+anti-miR-493-5p 组, 转染均按照 LipofectamineTM 2000 试剂盒进行操作。

1.2.3 qRT-PCR 检测 miR-493-5p 和 LUCAT1 表达水平 收集细胞提取总 RNA, 合成 cDNA, 按试剂盒说明进行 PCR, 以 β -actin 为内参, 相对表达量用 $2^{-\Delta\Delta Ct}$ 法计算。

1.2.4 Western blot 检测蛋白表达 收集细胞提取总蛋白, BCA 法定量。经 SDS-PAGE、转膜、封闭, 加入一抗(1:1 000)4℃ 孵育过夜, 加入二抗(1:2 000)室温孵育 2 h, 显影、定影、成像, 检测蛋白条带吸光度, 以目的条带和 β -actin 条带的比值作为蛋白表达水平。

1.2.5 MTT 检测细胞活性 收集培养 24 h、48 h、72 h 的细胞, 按试剂盒说明进行操作, 酶标仪检测 490 nm 处吸光度(OD)值。细胞增殖活力(%)=实验组 OD 值/空白对照组 OD 值 $\times 100\%$ 。

1.2.6 流式细胞术检测细胞凋亡 收集细胞, 漂洗后按试剂盒说明书, 先后加入 Annexin V-FITC 和 PI 避光孵育 15 min; 上流式细胞仪检测。

1.2.7 荧光素酶报告实验 检测 LUCAT1 对 miR-493-5p 的靶向调控 构建有 miR-493-5p 结合位点的 LUCAT1 野生型和突变型荧光素酶表达载体(LUCAT1-WT 和 LUCAT1-MT), 将其分别与 miR-NC 和 miR-493-5p 共转染至细胞; 按说明书要求检测荧光素酶活性。

1.3 统计学方法 应用 SPSS20.0 统计学软件分析数据, 计量资料符合正态分布, 以均数 \pm 标准差($\bar{x} \pm s$)表示, 组间两两比较采用 *t* 检验, 以 $P < 0.05$ 表示差异有统计学意义。

2 结果

2.1 LUCAT1 和 miR-493-5p 在膀胱癌细胞株和正常膀胱上皮细胞中的表达水平 与正常膀胱上皮细胞 SV-HUC-1 相比, 膀胱癌细胞 J82、5637、BIU-87 中 LUCAT1 mRNA 的表达水平明显升高, miR-493-5p 的表达水平明显降低, 差异均有统计学意义($P < 0.05$), 见图 1。选择表达变化最明显的 5637 细胞用做后续试验。

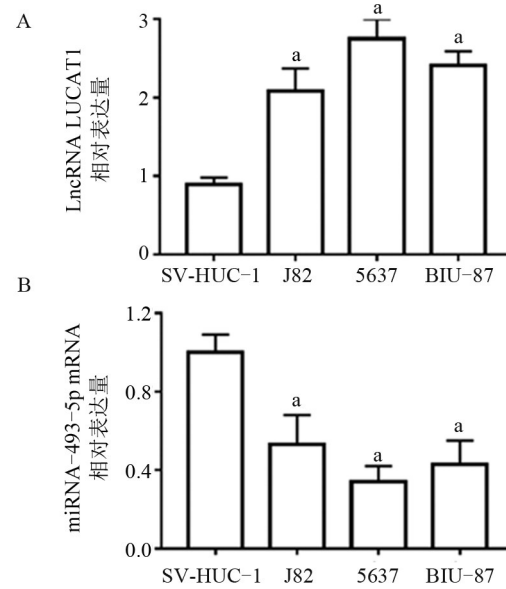


图 1 LUCAT1 和 miR-493-5p 在膀胱癌细胞株中的表达水平

注: A, LUCAT1 在膀胱癌细胞株 J82、5637、BIU-87 及正常膀胱上皮细胞 SV-HUC-1 中的表达; B, miR-493-5p 在膀胱癌细胞株 J82、5637、BIU-87 及正常膀胱上皮细胞 SV-HUC-1 中的表达; 与 SV-HUC-1 相比, $^a P < 0.05$ 。

2.2 沉默 LUCAT1 对膀胱癌细胞 5637 增殖和凋亡的影响 与 si-NC 组相比, si-LUCAT1 组膀胱癌细胞 5637 中 LUCAT1 mRNA 的表达水平显著降低, 细胞活性明显降低, 凋亡率明显升高, CyclinD1 表达水平

明显降低,Caspase-3 表达水平明显升高,差异均有统计学意义($P<0.05$),见图2。

2.3 LUCAT1 和 miR-493-5p 间的相互调控关系 TargetScan 预测显示 LUCAT1 与 miR-493-5p 存在结合位点(图3A)。荧光素酶报告实验结果(图3B)显示,相较于 miR-NC 组,miR-493-5p 组 LUCAT1-WT 中膀胱癌细胞 5637 的荧光素酶活性明显降低,差异有统

计学意义($P<0.05$),而 LUCAT1-MT 膀胱癌细胞 5637 的荧光素酶活性差异无统计学意义($P>0.05$)。相较于 pcDNA-NC 组,pcDNA-LUCAT1 组膀胱癌细胞 5637 中 miR-493-5p 的表达水平明显降低;相较于 si-NC 组,si-LUCAT1 组膀胱癌细胞 5637 中 miR-493-5p 的表达水平明显升高,差异均有统计学意义($P<0.05$),见图3C。

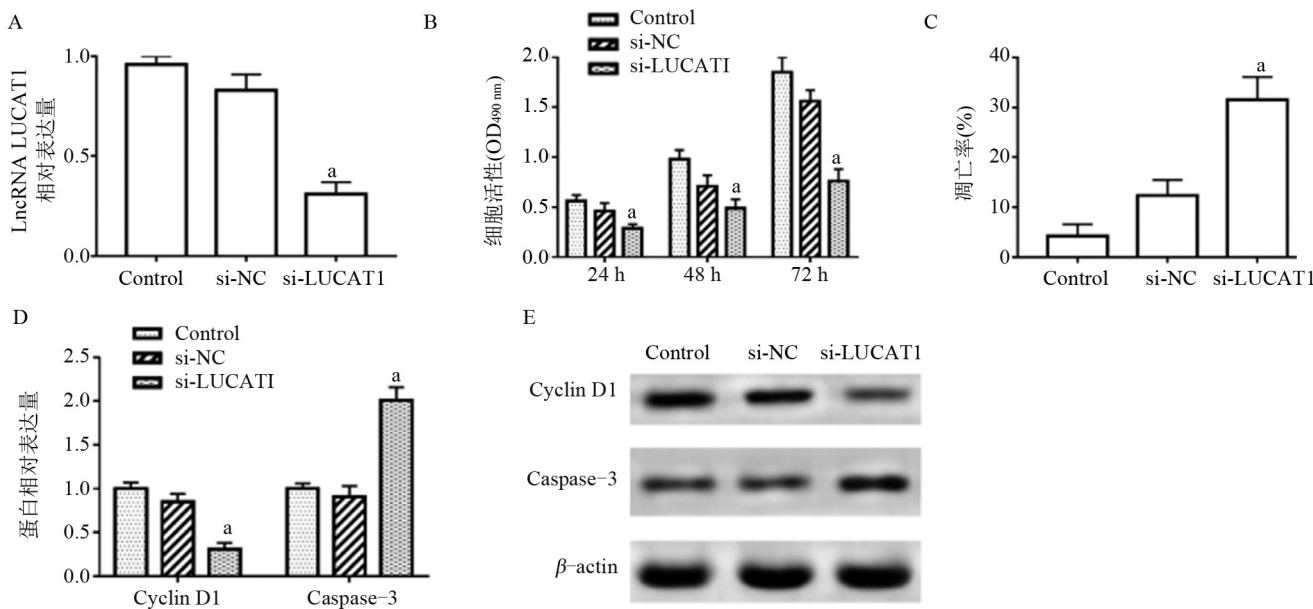


图2 沉默lncRNALUCAT1对膀胱癌细胞5637增殖和凋亡的影响

注:A,膀胱癌细胞5637中LUCAT1的沉默效率;B,转染si-LUCAT1的膀胱癌细胞5637的增殖;C,转染si-LUCAT1的膀胱癌细胞5637的凋亡;D~E,转染si-LUCAT1的膀胱癌细胞5637中CyclinD1和Caspase-3的表达;与si-NC比较,* $P<0.05$ 。

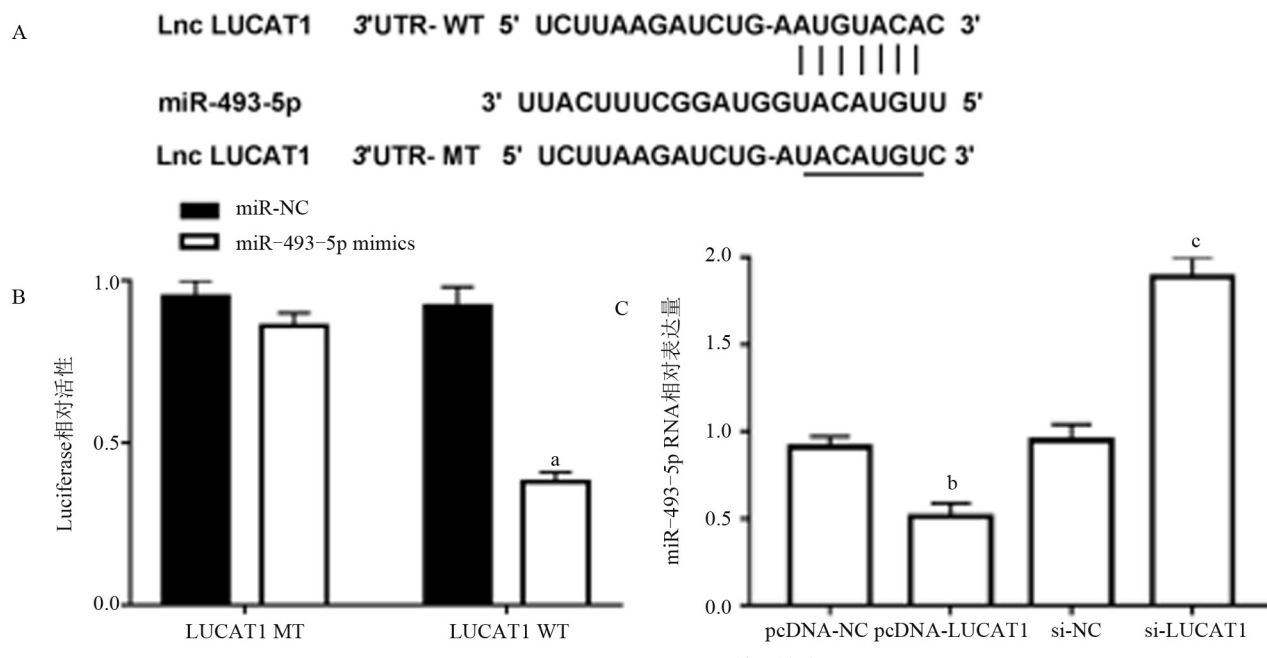


图3 LUCAT1和miR-493-5p间的调控关系

注:A,TargetScan 数据库预测到 LUCAT1 与 miR-493-5p 存在结合位点;B,同时转染 miR-493-5p 和 LUCAT1-MT 或同时转染 miR-493-5p 和 LUCAT1-WT 膀胱癌细胞 5637 中荧光素酶活性;C,转染 pcDNA-LUCAT1 或 si-LUCAT1 膀胱癌细胞 5637 中 miR-493-5p 的表达。与 miR-NC 相比,* $P<0.05$;与 sh-NC 比较,^b $P<0.05$;与 si-NC 比较,^c $P<0.05$ 。

2.4 抑制 miR-493-5p 表达逆转沉默 LUCAT1 对膀胱癌细胞 5637 增殖和凋亡的影响 与 si-LUCAT1+

anti-miR-NC 组相比,si-LUCAT1+anti-miR-493-5p 组膀胱癌细胞 5637 细胞活性明显升高,细胞凋亡率明显

降低,Cyclin D1 蛋白的表达水平明显升高,Caspase-3 蛋白的表达水平明显降低,差异均有统计学意义($P<0.05$),见图4。

2.5 抑制 miR-493-5p 表达逆转沉默 LUCAT1 对 JAK/STAT 信号通路的影响 与 si-NC 组相比,

si-LUCAT1 组膀胱癌细胞 5637 中 p-JAK2、p-STAT 蛋白的表达水平明显降低,与 si-LUCAT1+anti-miR-NC 组相比,si-LUCAT1+anti-miR-493-5p 组膀胱癌细胞 p-JAK2、p-STAT 蛋白的表达水平明显升高,差异均有统计学意义($P<0.05$),见图5。

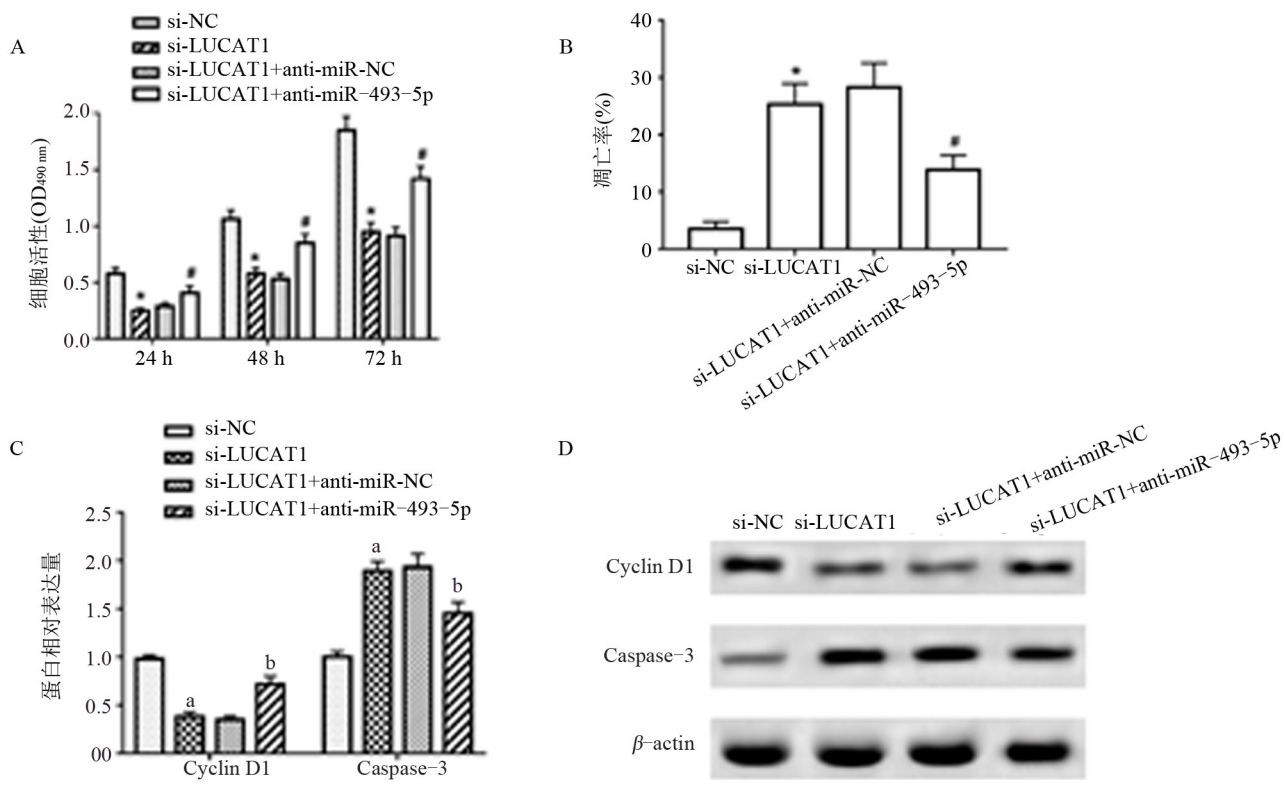


图4 抑制 miR-493-5p 表达逆转沉默 LUCAT1 对膀胱癌细胞 5637 增殖和凋亡的影响

注:A,转染 si-LUCAT1 或者 si-LUCAT1+anti-miR-493-5p 的膀胱癌细胞 5637 的增殖;B,转染 si-LUCAT1 或者 si-LUCAT1+anti-miR-493-5p 的膀胱癌细胞 5637 的凋亡;C~D,转染 si-LUCAT1 或者 si-LUCAT1+anti-miR-493-5p 的膀胱癌细胞 5637 中 CyclinD1 和 Caspase-3 的表达;与 si-NC 比较,^a $P<0.05$;与 si-LUCAT1+anti-miR-NC 比较,^b $P<0.05$ 。

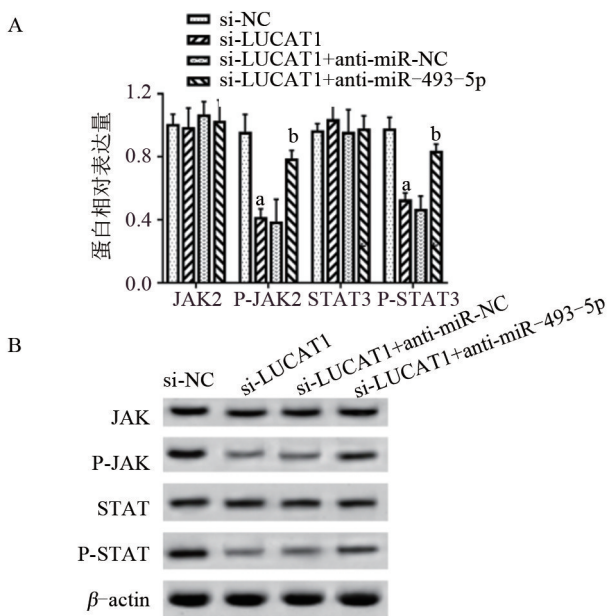


图5 抑制 miR-493-5p 表达逆转沉默 LUCAT1 对 JAK/STAT 信号通路的影响

注:A~B,转染 si-LUCAT1 或者 si-LUCAT1+anti-miR-493-5p 的膀胱癌细胞 5637 中 JAK2、p-JAK2、STAT3 和 p-STAT3 的表达。与 si-NC 相比,^a $P<0.05$;与 si-LUCAT1+anti-miR-NC 相比,^b $P<0.05$ 。

3 讨论

膀胱癌是我国发病率和死亡率最高的泌尿生殖系统肿瘤,严重威胁着人们的健康;靶向治疗作为一种新的治疗模式,有望应用在膀胱癌的治疗中^[10]。近年来研究发现 lncRNA 在膀胱癌的发生发展中扮演重要角色,lncRNA LUCAT1 是一种不良的预后因子,可在体外和体内促进肾癌细胞增殖^[11];lncRNA LUCAT1 还能促进胃癌细胞的侵袭和迁移能力^[12]。LUCAT1 在透明细胞肾细胞癌中上调表达,并且与其不良预后显著相关;LUCAT1 通过 AKT / GSK-3β 信号传导途径促进透明细胞肾细胞癌的增殖和侵袭^[13]。此外,LUCAT1 在食管鳞状细胞癌中也上调表达,LUCAT1 敲低可减少 KYSE-30 细胞增殖,诱导细胞凋亡^[14]。敲除 lncRNA LUCAT1 通过调节 miR-375 能抑制神经胶质瘤细胞的活力和侵袭^[15]。本实验结果表明,lncRNA LUCAT1 在膀胱癌细胞中同样高表达,沉默 LUCAT1 可抑制膀胱癌 5637 细胞增殖,促进细胞凋亡。

lncRNA 和 miRNA 两者一般通过相互作用参与表观遗传、转录及转录后调控,进而参与恶性肿瘤的发生

发展^[16]。本实验发现 LUCAT1 靶向负调控 miR-493-5p 的表达。研究报道 miR-493-5p 高表达与非小细胞肺癌的临床预后呈正相关^[17]。miR-493-5p 通过靶向 FUT4 可减弱人乳腺癌的侵袭性和致瘤性^[18];miR-493-5p 可通过 AKT/GSK-3β/Snail 信号传导抑制前列腺癌的上皮-间质化^[19]。本实验研究结果发现,miR-493-5p 在膀胱癌细胞中低表达;且抑制 miR-493-5p 表达能逆转沉默 LUCAT1 对膀胱癌细胞 5637 的增殖抑制和凋亡促进的作用,还逆转了沉默 LUCAT1 对 JAK2/STAT 信号通路的抑制作用。

STAT3 是细胞内重要的转录因子,JAK 磷酸化能激活 STAT3,JAK/STAT 信号通路在肿瘤的发生发展、侵袭、转移起着关键作用,JAK2/STAT3 是其中重要的一个重要信号通路,阻断该信号通路可以抑制肿瘤细胞的生长和诱导凋亡^[20]。研究发现 miR-153 可通过 JAK/STAT 信号通路可调控膀胱癌细胞的侵袭和迁移能力^[21];白藜芦醇通过下调 p-STAT3 的表达来抑制 JAK/STAT3 信号通路,从而抑制膀胱癌细胞的生长^[22];白花蛇舌草也能通过 JAK2/STAT3 通路诱导膀胱癌 T24 细胞凋亡^[23]。本实验中,沉默 LUCAT1 会抑制 Cyclin D1、p-JAK2、p-STAT 蛋白的表达,即抑制 JAK2/STAT3 信号通路的激活,miR-493-5p 抑制表达会逆转沉默 LUCAT1 对 JAK2/STAT 信号通路的抑制作用。

综上所述,沉默 lncRNA LUCAT1 可抑制膀胱癌细胞增殖,促进细胞凋亡,其机制可能与上调 miR-493-5p 及抑制 JAK2/STAT 信号通路有关,将可分为膀胱癌的预防和治疗提供新靶点。

参考文献

- [1] 殷小涛,高江平.膀胱肿瘤靶向治疗现状及研究进展[J].解放军医学院学报,2017,38(1): 75-78.
- [2] 庞亮,刘光明,姚世杰.晚期膀胱癌治疗的新药物研究进展[J].医学综述,2017,23(24): 4829-4834.
- [3] 何俊,丁明霞,王海峰,等.膀胱癌中相关 lncRNA 研究进展[J].医学与哲学,2017,38(11): 57-60.
- [4] 王杰焱,陈红微,田小柯,等.miRNA 和膀胱癌发生发展的研究进展[J].中国老年学杂志,2017,37(5): 1257-1261.
- [5] SUN Y, JIN S D, ZHU Q, et al. Long non-coding RNA LUCAT1 is associated with poor prognosis in human non-small cell lung cancer and regulates cell proliferation via epigenetically repressing p21 and p57 expression [J]. Oncotarget, 2017, 8(17): 28297-28311.
- [6] HAN Z, SHI L. Long non-coding RNA LUCAT1 modulates methotrexate resistance in osteosarcoma via miR-200c/ABCB1 axis [J]. Biochem Biophys Res Commun, 2017, 495(1): 947-953.
- [7] ZHANG L, LIU SK, SONG L, et al. SP1-induced up-regulation of lncRNA LUCAT1 promotes proliferation, migration and invasion of cervical cancer by sponging miR-181a [J]. Artif Cells Nanomed Biotechnol, 2019, 47(1): 556-564.
- [8] 谢波. miR-493-5p 在前列腺癌中的抑癌作用及其分子机制研究[D]. 杭州: 浙江大学, 2017.
- [9] WANG G, FANG X, HAN M, et al. MicroRNA-493-5p promotes apoptosis and suppresses proliferation and invasion in liver cancer cells by targeting VAMP2 [J]. Int J Mol Med, 2018, 41(3): 1740-1748.
- [10] 杨玉帛.膀胱癌靶向治疗研究进展[J].国际泌尿系统杂志,2017,37(2): 274-278.
- [11] XIAO H, LIN B, WEN X, et al. Long non-coding RNA Lucat1 is a poor prognostic factor and demonstrates malignant biological behavior in clear cell renal cell carcinoma [J]. Oncotarget, 2017, 8(69): 113622-113634.
- [12] 于桂林,林杰,赵国华,等.长链非编码 RNA lucat1 对胃癌细胞侵袭和迁移能力的影响及其机制[J].山东医药,2018,58(20): 23-26.
- [13] ZHENG Z, ZHAO F, ZHU D, et al. Long non-coding RNA LUCAT1 promotes proliferation and invasion in clear cell renal cell carcinoma through AKT/GSK-3β signaling pathway [J]. Cell Physiol Biochem, 2018, 48(3): 891-904.
- [14] YOON JH, YOU BH, CHAN HP, et al. The long noncoding RNA LUCAT1 promotes tumorigenesis by controlling ubiquitination and stability of DNA methyltransferase 1 in esophageal squamous cell carcinoma [J]. Cancer Lett, 2018, 417: 47-57.
- [15] GAO YS, LIU XZ, ZHANG YG, et al. Knockdown of long non-coding RNA LUCAT1 inhibits cell viability and invasion by regulating miR-375 in glioma [J]. Oncol Res, 2017, 26(2): 307-313.
- [16] 赵志国,张力平.miRNA 和 lncRNA 相互作用与恶性肿瘤相关性的研究进展[J].现代肿瘤医学,2018,26(18): 176-179.
- [17] LIANG Z, KONG R, HE Z, et al. High expression of miR-493-5p positively correlates with clinical prognosis of non small cell lung cancer by targeting oncogene ITGB1 [J]. Oncotarget, 2017, 8(29): 47389-47399.
- [18] ZHAO L, FENG X, SONG X, et al. miR-493-5p attenuates the invasiveness and tumorigenicity in human breast cancer by targeting FUT4 [J]. Oncol Rep, 2016, 36(2): 1007-1015.
- [19] WANG S, WANG X, LI J, et al. c-Met, CREB1 and EGFR are involved in miR-493-5p inhibition of EMT via AKT/GSK-3β/Snail signaling in prostate cancer [J]. Oncotarget, 2017, 8(47): 82303-82313.
- [20] 张锦锦,唐慧.JAK/STAT3 信号通路调控肿瘤及其相关生物功能的研究进展[J].基础医学与临床,2017,37(10): 1456-1460.
- [21] 李冠军,亚国伟,唐正严,等.miR-153 靶向 PRDM2 基因并通过 JAK/STAT 信号通路影响膀胱癌的侵袭和迁移[J].中国病理生理杂志,2018,34(1): 58-63.
- [22] 王金鹏.白藜芦醇调节膀胱癌中 ARHI 的表达及其对 JAK-STAT3 信号通路的影响[D].大连:大连医科大学,2016.
- [23] 南锡浩,于峰,田河,等.白花蛇舌草通过 JAK2/STAT3 通路途径诱导膀胱癌 T24 细胞凋亡机制[J].中国处方药,2018,16(3): 31-32.

(收稿日期:2020-06-12)